TABELLEN

zur

GESTEINSKUNDE

für

Geologen, Mineralogen, Bergleute, Chemiker, Landwirte und Techniker

zusammengestellt von

Dr. G. Linck

o. ö. Professor der Mineralogie und Geologie an der Universität Jena

Fünfte, verbesserte Auflage

Mit 8 Tafeln



Jena Verlag von Gustav Fischer 1921 Die angegebenen Preise sind die im November 1921 gültigen. — Die Preise für gebundene Bücher sind bis auf weiteres unverbindlich.

Weitere Schriften von

Dr. Gottlob Linck

o. ö. Prof. der Mineralogie und Geologie an der Universität Jena

Grundriß der Kristallographie. Für Studierende u. zum Selbstunterricht. Vierte, verbesserte Auflage. Mit 486 Originalfiguren im Text und 3 farbigen, lithographischen Tafeln. VIII, 285 S. gr. 8° 1920 Mk 31.50, geb. Mk 43.50

Zeitschrift für angewandte Chemie, 1913, Nr 82:

. . . Schon der Student sollte auf die Erwerbung gründlicher Kenntnisse in der Kristallographie hingewiesen werden, die ihn später bei seinen Arbeiten so oft fördern können. Das Lincksche Buch ist dazu ein vortreffliches Hilfsmittel. . . Es kann allen Fachgenossen bestens empfohlen werden, zumal es in der Tat zum Selbststudium sehr geeignet ist.

Kreislaufvorgänge in der Erdgeschichte. Rede, gehalten zur Feier der akademischen Preisverteilung in Jena am 15. Juni 1912. III, 40 S. Lex. 8° 1912 Mk 6.—

Preußische Lehrerzeitung 1913, Nr. 5:

Eine hochinteressante, lesenswerte Rede, in welcher der Verfasser nicht nur die Kreislaufvorgänge in der Vergangenheit des Erdballs behandelt, sondern auch Ausblicke in die Zukunft unseres Planeten tut.

Goethes Verhältnis zur Mineralogie und Geognosie. Rede, gehalten zur Feier der akademischen Preisverteilung am 16. Juni 1906. Mit Bildern von Goethe (Seidler) und Lenz und einem Brieffaksimile. 48 S. Lex. 8° 1906 Mk 8.—

Kölnische Zeitung vom 28. Juni 1908:

... Eine eingehende und auf sorgsam gesammelten, zum Teil ganz neuem Material beruhende Studie. ... Alles in allem sieht man aus diesen Mitteilungen, wie beachtenswert Goethes Wirken auf diesem Gebiet der Naturwissenschaft war und daß es für Goethe-Freunde und Goethe-Forscher wie für Männer der Naturwissenschaft Interesse bieten dürfte, sich einmal näher mit Goethes Verhältnis zur Mineralogie zu beschäftigen.

Über Wesen und Wert der Universität. Rede, gehalten zur Feier der akademischen Preisverteilung am 19. Juni 1920 in der Stadtkirche zu Jena. 24 S. gr. 8° 1920 Mk 3.75 SINKANKAS RTL 028820

3.50 ABW

TABELLEN

zur

GESTEINSKUNDE

für

Geologen, Mineralogen, Bergleute, Chemiker, Landwirte und Techniker

zusammengestellt von

Dr. G. Linck

o. ö. Professor der Mineralogie und Geologie an der Universität Jena

Fünfte, verbesserte Auflage

Mit 8 Tafeln



Jena Verlag von Gustav Fischer 1921 Alle Rechte vorbehalten

Vorwort zur ersten Auflage.

Die vorliegenden Tabellen entsprangen einem oft gefühlten Bedürfnis bei den Vorlesungen und Übungen des Verfassers und haben nun schon eine Reihe von Jahren, als Manuskript gedruckt, gute Dienste geleistet. Auch von Fachgenossen habe ich Gutes darüber gehört. Diese beiden Umstände haben mich veranlaßt, sie in einer durch einige Abbildungen der wichtigsten Strukturarten wenig erweiterten Form allgemein zugänglich zu machen.

Jena, im Februar 1902.

G. Linck.

Vorwort zur vierten Auflage.

Es ist nun doch während des Weltkrieges eine neue Auflage nötig geworden, und meine zeitweilige Zurückstellung vom Heeresdienst erlaubt mir die Ausführung. Die Heimkehrenden sollen sie fertig vorfinden. Möge sie die gleich freundliche Aufnahme finden wie ihre Vorgängerinnen.

Ich habe die Tabellen in manchem, wie ich glaube, entsprechend den Fortschritten der Wissenschaft geändert und wie ich mich schon früher bei den Eruptivgesteinen an Rosenbusch anlehnte, so habe ich mich jetzt bei den kristallinen Schiefergesteinen eng an Grubenmann und Becke angeschlossen. Ihnen gebührt Ruhm und Dank.

Die äußere Form habe ich in Rücksicht auf die Handlichkeit geändert. Den alten Preis konnte die Verlagsbuchhandlung unter den heutigen allbekannten Umständen nicht einhalten.

Und nun "Glück auf!" Jena, im Juli 1918.

G. Linck.

Vorwort zur fünften Auflage.

Nachdem eine neue Auflage der Tabellen nötig geworden ist, habe ich, zum Teil dem Wunsch von Kollegen entsprechend, einige Tabellen geändert, eine ganz neu hinzugefügt, und eine vollständig umgearbeitet. Die Änderungen beziehen sich hauptsächlich auf die kieselsäurereichen Eruptivgesteine und auf die Sedimente; ganz umgearbeitet wurde die Tabelle der Einteilung der kristallinen Schiefergesteine, indem ich mich der Dreiteilung Grubenmanns anschloß; neu hinzugefügt wurde die Tabelle über die Salzgesteine, bei denen mir die Werke Rinnes, Boekes und Nigglis die Unterlage boten. Allen sei gedankt.

Glück auf!

Jena, im August 1921.

G. Linck.

w				4	
1 1	n	h	0	н	+
I		ш	4	1	L.

		11111 d1 L.	Seite
Tabe	lle 1.	Chemische Zusammensetzung der Erdrinde	
		Die Eruptivgesteine	2
,,	2.	Die wichtigsten Mineralien der Eruptivgesteine .	2
"	3.	Mengenverhältnis der wichtigsten Mineralien	3
"	4.	Wesentliche Stoffassoziation im Magma	3
,,	5.	Kieselsäurereiche Eruptivgesteine	5
,,	6.	Kieselsäurearme Eruptivgesteine	6
,,	7.	Gangförmige Spaltungsprodukte der Tiefengesteine	7
,,	8.	Spaltungsvorgänge im Eruptivmagma	8
		Die Sedimente	9
,,	9.	Die wichtigsten Mineralien der sekundären Gesteine	
		(Sedimente)	9
"	10.	Einteilung der Sedimente	11
,,	11.	Das Weltmeer und die Salzgesteine	12
		Die metamorphischen Gesteine	15
		Kontaktmetamorphose	16
,,	12.	Die wichtigsten Mineralien der Kontaktmetamor-	
		phose	
3.7	13.	Umwandelung der Sedimente bei Kontaktmeta-	
		morphose	17
		Dynamometamorphose	18
"	14.	Die wichtigsten Mineralien der Dynamometamor-	
	4.44	phose	18
"	15.	Dynamometamorphose der Eruptivgesteine	19
,,	16.	Dynamometamorphose der Sedimente	20
		Die kristallinen Schiefergesteine	21
"	17.	Die wichtigsten Mineralien der kristallinen Schiefer-	00
	10	gesteine	22
,,	18.	Klassifikation der wichtigsten kristallinen Schiefer-	
	10	gesteine nach dem Mineralbestand	24
"	19.	Einteilung der kristallinen Schiefergesteine nach	25
	20	Mineralbestand und Zonen	26
"	20.	Klassifikation der Gneise nach der Textur	27
)) A obt	21. Tofal-	Die geologischen Formationen	28
ACIT	Tareli	n mit 16 Bildern der Struktur und Textur	20

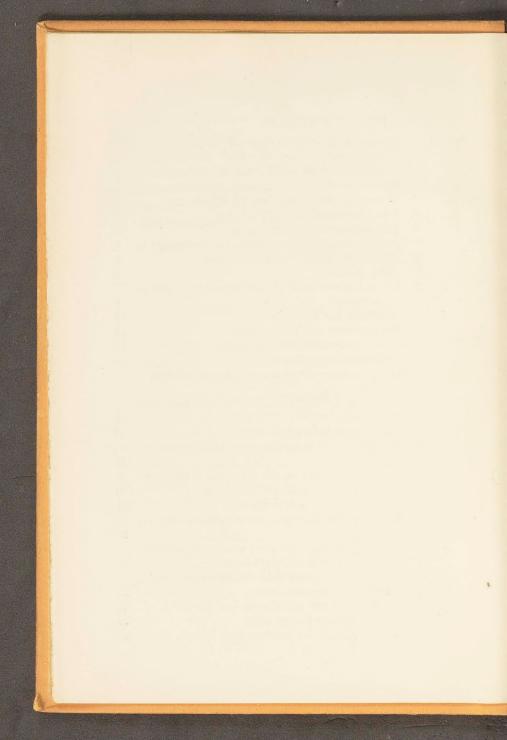


Tabelle 1.

Wichtigste Stoffe der Erdrinde

bis zu 10 km Tiefe, einschließlich Meerwasser (7 Proz.) und Atmosphäre (0,003 Proz.).

(Nach Clarke und Vogt.)

Sauerstoff	O	50 Prozente) e
Silicium	Si	26,20 ,,	Bestandteile ivgesteine
Aluminium	Al	7,44 ,,	tanc
Eisen	Fe	4,15 ,,	3est vge
Calcium	Ca	3,19 ,,	7 4
Natrium	Na	2,43 ,,	tlich
Magnesium	Mg	2,30 ,,	Wesentliche Bestandte der Eruptivgesteine
Kalium	K	2,27 ,,	We
Wasserstoff	Н	0,90 ,,	,
Titan	Ti	0,399 ,,	
Chlor	Cl	0,21 ,,	
Kohlenstoff	C	0,13 ,,	
Schwefel	S	0,108 ,,	
Phosphor	P	0,102 ,,	
Baryum	Ba	0,082 ,,	
Mangan	Mn	0,078 ,,	

Alle übrigen Stoffe in weniger als einem halben Promille.

Tabelle 2.

Primäre Gesteine

sind die Eruptivgesteine und deren Tuffe 1).

Die wichtigsten Mineralien der Eruptivgesteine.

- 1) Quarz SiO2
- 2) Feldspäte:

 $\begin{array}{l} Alkalifeldspäte \\ \{mNaAlSi_3O_8\} \\ (\\ \mbox{"Natronorthoklas, *Sanidin,}) \end{array} \\ \end{array} \\ \begin{array}{l} \left(\begin{array}{l} Gemeiner \ Orthoklas, \ *Sanidin,} \\ *Natronorthoklas, \ Mikroklin,} \end{array} \right) \\ \end{array}$

Kalknatron- { nNaAlSi₂O₈ } (Albit, Oligoklas, Andesin, Lafeldspäte | mCaAl₂Si₂O₈ } (bradorit, Bytownit, Anorthit)

*Anorthoklase sind kalihaltige Kalknatronfeldspäte.

3) Vertreter der Feldspäte in kieselsäureärmeren Gesteinen:

*Leucit KAlSi2O6

Nephelin NaAlSiO₄ (mit etwas überschüssiger SiO₂)

Hauyn mNaAlSiO₄ + nCaSO₄ *Nosean , + nNa₂SO₄ *Sodalith , + nNaCl

*Melilith $\left\{ \begin{array}{ll} mCa_2(Mg,Fe)Si_2O_7 \\ nCa_2Al_2SiO_7 \end{array} \right\}$

4) Glimmer:

Muscovit (K, H)₆Al₆Si₆O₂₄ Biotit $m(K, H)_6$ Al₆Si₆O₂₄ + $n(Mg, Fe)_2$ SiO₄

- 5) Olivin (Mg, Fe)2SiO4
- 6) Augite u. Hornblenden (Pyroxen u. Amphibol):

Rhombische (Mg, Fe)SiO₃ Monokline (Ca, Mg, Fe)SiO₃

meist mit Al₂, Fe₂ oder Na (Aegirin u. Arfvedsonit)

7) Eisenerze:

Magneteisen Fe₃O₄ Magnetkies FeS

8) Titanmineralien:

Titaneisen FeTiO₃ Titanit Ca(Ti, Si)O₃

9) Apatit: Ca₅(PC)₃ · F oder Cl.

¹⁾ Tuffe sind zu den Ergußgesteinen zugehörige, anfangs lockere (klastische), vulkanische Auswurfsprodukte.

^{*} Mineralien, die nur in Eruptivgesteinen vorkommen.

Tabelle 3.

Diese Mineralien beteiligen sich (nach Clarke) in folgender Menge an der Zusammensetzung der Eruptivgesteine:

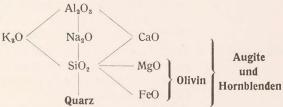
Feldspäte und Vertreter	59,5 Prozent
Hornblenden und Augite	16,8 ,,
Quarz	12,0 ,,
Biotit	3,8 ,,
Titanmineralien	1,5 ,,
Apatit	0,6 ,,
Alle übrigen Mineralien zusammen	5,8 ,,

Tabelle 4.

Wesentliche Stoffassoziation im Eruptivmagma.

(Schematisch dargestellt.)

Feldspäte und Vertreter



Bei der Berechnung geht man von der Tonerde aus, die mit Kieselsäure an die Alkalien und, soweit diese nicht ausreichen, an den Kalk gebunden die Feldspäte und ihre Vertreter liefert. Der Rest des Kalkes, Magnesia und Eisen liefern die Augite und Hornblenden oder bei mangelnder Kieselsäure Oiivin. Überschüssige Kieselsäure liefert Quarz, mangelnde Feldspatvertreter und Olivin.

Vorbemerkungen.

Geologisches:

- 1. Tiefengesteine sind in großen unterirdischen Räumen erstarrt. Ganggesteine erfüllen flächenhaft sich ausdehnende Spalten. Ergußgesteine haben bei der Eruption die Erdoberfläche erreicht und sich dort ausgebreitet.
- 2. Zwischen prätertiären und jüngeren Gesteinen besteht nur ein Altersunterschied.

Chemisches:

- 3. Der Gehalt an Kieselsäure steigt mit den Alkalien und fällt mit zunehmenden alkalischen Erden (und Eisen).
- 4. Natrium herrscht unter den Alkalien zumeist vor (Natronvormacht).
- 5. Mit abnehmender Kieselsäure und zunehmendem Eisen wird die Farbe der Gesteine dunkler und das spezifische Gewicht nimmt zu.

-Mineralogisches:

6. In älteren Gesteinen ist der Alkalifeldspat gemeiner Orthoklas oder Mikroklin oder Albit, in jüngeren Sanidin oder sanidinähnlicher Natronorthoklas oder Anorthoklas.

Physiographisches: 7. Unter Struktur versteht man die Form und gegenseitige Begrenzung der Gesteinsgemengteile (innere Vorgänge), z. B. glasig und körnig (= kristallinisch).

Unter Textur versteht man die räumliche Anordnung und Verteilung der Gemengteile (äußere Ursachen), z. B. massig, fluidal, sphärisch.

- 8. Obsidiane sind wasserarme, Pechsteine sind hydratisierte wasserreiche Gläser.
- 9. Bimssteine sind Gläser mit Schaumtextur, Mandelsteine sind Ergußgesteine Blasentextur.

Eruptivgesteine.

A. Kieselsäuregehalt größer als im Mittel ca. 50-55 %

 $SiO_2 \ge 6 (Na_2Al_2O_4) + 6 (K_2Al_2O_4) + 2 (CaAl_2O_4) + (Ca, Mg, Fe)O$

größer ← SiO₂ → kleiner

 $\begin{array}{c} \textbf{Alkalien herrschend} \\ \text{Na}_2\text{Al}_2\text{O}_4 + \text{K}_2\text{Al}_2\text{O}_4 > \text{CaAl}_2\text{O}_4 \\ \text{Alkalifeldspäte} \end{array}$

Alkalische Erden herrschend $\text{CaAl}_2\text{O}_4 \overline{\nearrow} \text{Na}_2\text{Al}_2\text{O}_4 + \text{K}_2\text{Al}_2\text{O}_4 \\ \text{Natronreiche Kalknatronfeldspäte}$

Alkalife mit Glimmer, natri und Hornblenden od	umhaltigen Augiten	Kalknatro mit Glimmer, Aug	Ispäte mit onfeldspat it, Hornblende oder on diesen	Geologisches Auf- treten und	Feldspat der Reihe Oligoklas-Andesin-Labradorit mit Amphibol, Augit, Biotit, Hypersthen oder einem von diesen		
mit Quarz	ohne Quarz	mit Quarz ohne Quarz		herrschende Struktur	mit Quarz	ohne Quarz	
Alkaligranit	Alkalisyenit	Alkalikalkgranit	Alkalikalksyenit	Tiefengesteine. Struktur: hypidiomorph-körnig	Quarzdiorit	Diorit	
Granitporphyr	Syenitporphyr	Granitporphyr	Syenitporphyr	Ganggesteine. Struktur: holokristallin-porphyrisch	Quarzdiorit- porphyrit	Dioritporphyrit	
Quarzkeratophyr	Keratophyr	Quarzporphyr	Quarzfreier Por- phyr oder Orthophyr	Prätertiäre Ergußgesteine. Struktur: holo- bis hypokristallin- porphyrisch oder vitrophyrisch	Quarzporphyrit	Porphyrit	
Liparit (Comendit)	Trachyt (Pantellerit)	Liparit	Trachyt	Tertiäre und posttertiäre Ergußgesteine. Struktur: holo- bis hypo- kristallin-porphyrisch oder vitrophyrisch	Dacit	Andesit	

Tabelle 6.

B. Kieselsäuregehalt geringer als im Mittel ca. 50-55%

 $SiO_2 < 6 (Na_2Al_2O_4) + 6 (K_2Al_2O_4) + 2 (CaAl_2O_4) + (Ca, Mg, Fe)O.$

Alkalische Erden herrschend größer ← SiO₂ → kleiner

Alkalien herrschend Feldspatvertreter $Na_2Al_2O_4 + K_2Al_2O_4 \ge CaAl_2O_4$

SiO, > fallend

Kalkreicher Kalknatronfeldspat der Labradorit-Anorthit-Reihe $CaAl_2O_4 > Na_2Al_2O_4 + K_2Al_2O_4$

ohne Feldspat

Wesentlicher Mineralbestand	mit Orthoklas (und Hauyn-Sodalith,	(und Alkalifeldspat, H	ngioklas Hauyn-Sodalith, Aegirin- e, Biotit, Melanit) ¹)	mit A (mit Hauyn-Sodalith, Biotit, M	ugit Melilith, Hornblende, Ielanit) 1)	Geologisches Auftreten und herrschende Struktur		herrschende Struktur			hen Pyroxenen	Olivin (mit Pyroxenen, Hornblenden, Biotit	Pyroxen (mit Horn- blenden u. Spinell ²)
	Aegirin-Augit)	ohne Olivin	mit Olivin	ohne Olivin	mit Olivin	nerrs	enende ottakeut	ohne Olivin	mit Olivin	ohne Olivin	mit Olivin	und Spinell ²)	orenden u. jopinen)
Nephelin	Elaeolithsyenit Esser (mit Ol	xit livin) Theralith	und Shonkinit	Ijolith Urtit	Bekinkinit	Tiefengesteine.	Tiefengesteine. Struktur: hypidio- morph-körnig bis diabasisch-körnig	Gabbro (Anorthosit)3	Olivingabbro	Norit	Olivinnorit	Peridotit	Pyroxenit
Leucit	Leucitsyenit				Missourit	Struktur: hypidiomorph-körnig	Ganggesteine. Struktur: holokristallin-porphyrisch		Gabbroporphy	yrit			
Nephelin	Elaeolithporphyr	Shonkin	nitporphyr	Ijolithporphyr		Ganggesteine.	Praecarbonische Erguß- u. Ganggesteine. Struktur: diabasisch-körnig (ophitisch)		Diabas (Grüns	tein)		Pikrit	
Leucit	Leucitporphyr					Struktur: holokristallin-porphyrisch	Praecarbonische Erguß-u. Ganggesteine. Struktur: hypo- bis holokristallin- porphyrisch		Diabasporphyrit (G (Labradorporphyrit, Au	irünstein) ıgitporphyrit)		Pikritporphyrit	
Nephelin	Phonolith	Nephelintephrit	Nephelinbasanit	Nephelinit	Nephelinbasalt	Palaeo- und neovulkani- sche Ergußgesteine.	Praetertiäre und postdevonische Erguß- und Ganggesteine. Struktur: diaba- sisch-körnig bis hypokristallin-porphy- risch oder vitrophyrisch		Melaphyr				
Leucit	Leucitphonolith	Leucittephrit	Leucitbasanit	Leucitit	Leucitbasalt	Struktur: hypokristallin-porphyrisch bis gleichmäßig körnig	Tertiäre und posttertiäre Erguß- und Ganggesteine. Struktur: diabasisch- körnig bis hypokristallin-porphyrisch oder vitrophyrisch		Feldspatbasa	alt			
Nephelin und Leucit	Leucitophyr	Nephelin- Leucittephrit	Nephelin- Leucitbasanit			oder vitrophyrisch							

Zusätze zu Tab. 6. Meilithbasalt entspricht einem Nephelinbasalt, dessen Nephelin durch Meilith vertreten ist (ist also ärmer an Alkalien). — Sordawalit und Wichtisit sind diabasische Gläser. — Tachylyt und Hyalomelan sind Gläser der basaltischen Gesteine.

Limburgite (Magmabasalte) und Augitite sind vitrophyrische Ausbildungsformen basaltischer Gesteine mit Augit und Olivin oder Augit allein als Einsprenglingen und bald Nephelin-, bald Leucit-, bald Feldspat-ähnlichem Gesteinsglas.

Der Gehalt an Eisenerzen steigt mit sinkendem Gehalt an Kieselsäure und steigendem Gehalt an alkalischen Erden. — (In den Gesteinen der Gabbrofamilie tritt gerne Magnetkies, in den Diabasen, Melaphyren und Basalten gerne Titaneisen auf.)

¹⁾ Melanit ist ein Kalkeisengranat, der einzige eruptive Granat. — 2) Spinelle sind Salze nach der Formel R₂O₄; (R = Mg, Fe, Mn; R = Al, Fe, Cr). — 3) Anorthosite sind Gesteine der Gabbrofamilie mit großer Armut an farbigen Gemengteilen.



Gangförmige Spaltungsprodukte der Tiefengesteine.

	Reio		ärmer an alkalisch brige Tiefengestein. che Reihe.)	en Erden	Reicher an alkalischen Erden und ärmer an Alkalien als das zugehörige Tiefengestein. (Lamprophyrische Reihe.)				
-	Name	Wesentlicher Mineralbestand	Struktur	Zugehörig zu:	Zugehörig zu:	Struktur	Wesentlicher Mineralbestand	Name	
	Aplit	Kalifeldspat, Plagioklas, Quarz (Muscovit, Biotit)	panidiomorph- körnig bis holo- kristallin-porphy- risch	Granit, Diorit, Syenit, Gabbro	Granit, Diorit, Syenit	panidiomorph- körnig bis holo- kristallin-porphy- risch	Orthoklas, Biotit, Augit	Minette	
	Bostonit	Alkalifeldspat (selten Orthoklas)	panidiomorph- körnig und trachytoid	Elaeolithsyenit und Essexit	Granit, Diorit, Syenit	panidiomorph- körnig bis holo- kristallin-porphy- risch	Plagioklas, Biotit, Augit	Kersantit	
	Tinguait	Alkalifeldspat, Aegirin mit Quarz oder Nephelin oder Leucit	panidiomorph- körnig oder holo- kristallin-porphy- risch	Alkaligranit, Alkali- syenit, Elaeolithsyenit	Granit, Diorit, Syenit	panidiomorph- körnig	Orthoklas, Amphibol, Augit	Vogesit	
	Malchit	Plagioklas mit Hornblende oder Diallag	panidiomorph- körnig oder holo- kristallin-porphy- risch	Granit, Diorit und Gabbro	Granit, Diorit, Syenit	panidiomorph- körnig	Plagioklas, Amphibol, Augit	Spessartit	
					Gabbro	holokristallin- porphyrisch	Plagioklas, Amphibol, Augit	Odinit	
					Elaeolithsyenit und Theralith	panidiomorph- körnig bis holo- kristallin-porphy- risch	Plagioklas, Amphibol, Augit	Camptonit	
					Elaeolithsyenit und Theralith	hypokristallin bis vitrophyrisch	Glas, Amphibol, Augit	Monchiquit	
					Elaeolithsyenit und Theralith	hypokristallin bis vitrophyrisch	wie Monchiquit mit Olivin und Melilith	Alnöit	

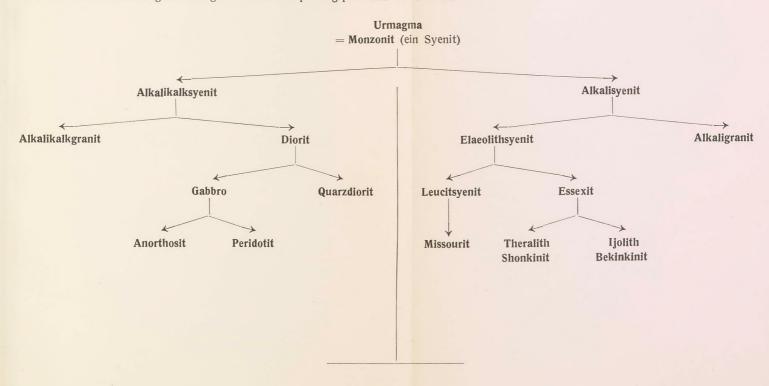
Zusätze zu Tab. 7.

Pegmatite sind wesentlich Quarz-Feldspatgesteine der pneumatolytischen Periode mit meist gangförmigem Auftreten.

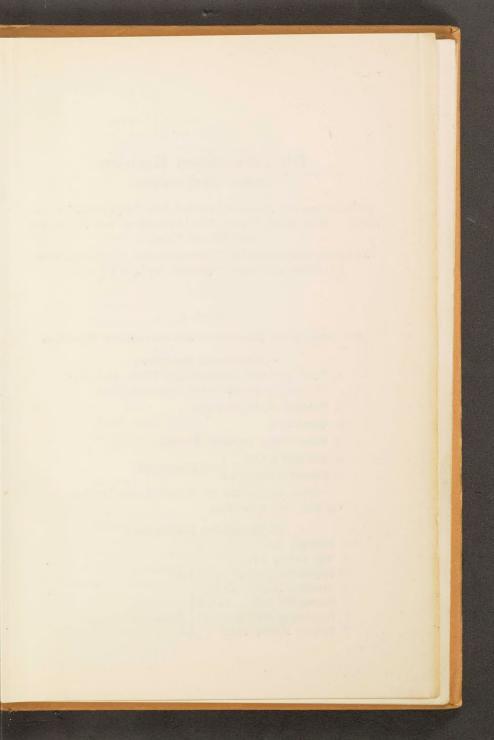
Die pneumatolytische Periode der Eruptivgesteine beginnt mit dem Eintreten ausgiebiger Kristallisation, mit der Erstarrung des Magmas, dem damit im Zusammenhang stehenden Entweichen der vom Magma absorbierten Dämpfe und Gase (Chlor, Fluor, Bor, Schwefelsäure usw.) und mit dem Zutritt vadosen Wassers. Dabei kann eintreten eine Zersetzung und Umwandlung des Cesteins (Alaunstein, Greisen) und eine Neubildung von charakteristischen Mineralien (Tridymit, Turmalin, Topas, Fluorit, Apatit, Zeolithe usw.).

Spaltungsvorgänge im Magma.

Die Klassifikation der Eruptivgesteine in den Tabellen 5, 6 und 7 ist eigentlich künstlich insofern, als die Gesteine durch Spaltungsvorgänge aus einem Urmagma (Schmelzfluß) etwa von der Zusammensetzung eines, Monzonit genannten, syenitischen Gesteins (z. T. vielleicht unter Aufschmelzen von Sedimenten) entstanden sind. Dadurch sind alle Typen durch Übergänge miteinander verknüpft. Wie etwa die Spaltungen vor sich gegangen sind, ist für die Tiefengesteine in der untenstehenden Tabelle durch Pfeile angedeutet. Jede Magmenart kann als Tiefen-, Gang- oder Ergußgestein auftreten. Auch reine Magneteisenlager können als Spaltungsprodukte vorkommen.







Die sekundären Gesteine oder Sedimente

entstehen aus den primären Gesteinen (den Eruptivgesteinen und ihren Tuffen) durch Verwitterung, Auslaugung und Absatz aus Luft, Eis und Wasser.

(Sie können natürlich auch durch entsprechende Wiederaufarbeitung sekundärer oder metamorphischer Gesteine entstehen.)

Tabelle 9.

Die wichtigsten Mineralien der sekundären Gesteine.

I. Klastische Gesteine:

- 1. Tone, das sind Gemenge von Kaolin H₄Al₂Si₂O₉ mit anderen wasserhaltigen Tonerdesilikaten
- 2. Muscovit (K, H), Al, Si, O24
- 3. Quarz SiO.
- 4. Wasserhaltige oxydische Eisenerze
- 5. Kalkspat CaCO₃ als Bindemittel.
- 6. Dolomit CaMgC,O,

(Auch können sie die Mineralien der primären Gesteine noch enthalten.)

II. Chemische Sedimente:

- 1. Anhydrit CaSO4
- 2. Gips CaSO₄ · 2 H₂O
- 3. Polyhalit Ca₂MgK₂S₄O₁₆ · 2 H₂O
- 4. Glauberit Na SO4 · CaSO4
- 5. Reichardtit MgSO₄ · 7 H₂O
- 6. Hexahydrat MgSO₄ · 6 H₂O Abraumsalze
- 7. Kieserit MgSO₄ · H₂O

- 8. Langbeinit K₂SO₄ · 2 MgSO₄
- 9. Vanthoffit 3 Na2SO4 · MgSO4
- 10. Loeweit Na₂SO₄ · MgSO₄ · 2½ H₂O
- 11. Astrakanit Na₂SO₄ · MgSO₄ · 4 H₂O
- 12. Kainit KCl · MgSO₄ · 3 H₂O
- 13. Sylvin KC1
- 14. Carnallit KCl · MgCl₂ · 6 H₂O
- 15. Bischofit MgCl₂ · 6 H₂O
- 16. Steinsalz (Halit) NaCl
- 17. Kalkspat CaCO₃
- 18. Aragonit
- 19. Dolomit Ca Mg C₂O₆
- 20. Ankerite Ca (Mg, Fe, Mn)C₂O₆
- 21. Eisenspat FeCO₃
- 22. Braunspäte (Fe, Mg, Mn)CO,
- 23. Glaukonit glimmerähnliches, an Kali und Wasser reiches Mg-Fe-Al-Silikat
- 24. Thuringit chloritische Fe-Al-Silikate
- 26. Opal SiO₂ · nH₂O
- 27. Quarz SiO,
- 28. Limonit Fe₂O₂ · 1 ½ H₂O
- 29. Gelbeisenerz Fe₂O₃ · 2 H₂O
- 30. Beauxit Al₂O₃ · 2 H₂O (Laterit).

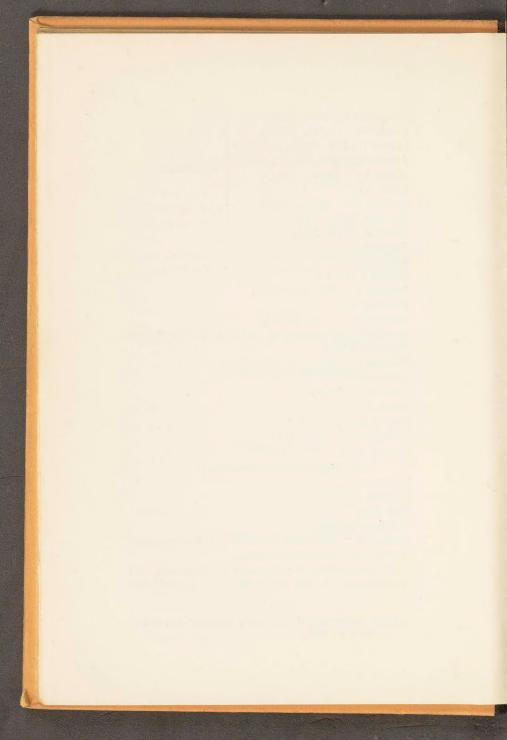
III. Organogene Sedimente:

- 1. Kalkspat) 2. Aragonit
- 3. Opal SiO, · nH2O
- 4. Kohlenwasserstoffe
- 5. Kohlen (d. s. wesentlich Gemenge von Kohlenwasserstoffen und Aschenbestandteilen).

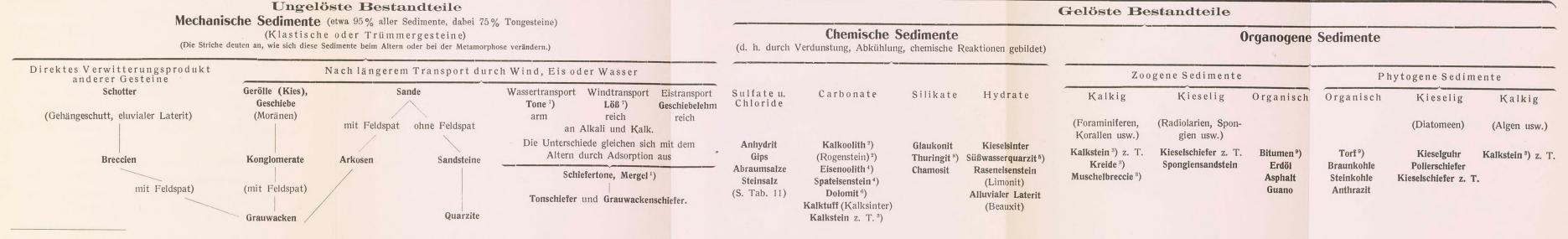
In den Braunkohlen hauptsächlich Kohlenwasserstoffe der aliphatischen, in den Steinkohlen der aromatischen Reihe.

Allgemein verbreitet (,, Hans in allen Gassen", Henkel): Pyrit und Markasit FeS2.

Abraumsalze



Die sekundären Gesteine.



- 1) Mergel sind Gemenge von klastischem Material (Ton) mit anderen Sedimenten (CaCO₃ usw.), auch findet man sonst häufig das Material verschiedener Entstehung gemischt.
- 2) Als Aragonit oder Vaterit entstanden und in Kalkspat umgewandelt.
- 3) Meist als Aragonit oder Vaterit entstanden, in Kalkspat umgewandelt und grobkristallinisch. Wenn als Kalkspat entstanden, feinkörnig bis dicht (lithographische Steine).
- 4) Vielfach durch Infiltration von Eisenlösungen aus Kalkstein entstanden (Diagenese).
- 5) Ist eigentlich ein feinkörniger Sandstein mit kieseligem Bindemittel.
- 6) Die Dolomite verdanken ihre Entstehung zumeist der Umwandlung von Kalksedimenten durch Magnesiumsalzlösungen bei Gegenwart von Ammonsalzen und freier Kohlensäure (Diagenese).
- 7) Die Tone adsorbieren aus Lösungen selektiv Kali, Kalk, Natron, Magnesia, werden reicher an löslichen Bestandteilen. Der Löß verliert durch Auslaugen mit Wasser lösliche Bestandteile, wird daran ärmer, er verlehmt.
- 8) Thuringit und Chamosit sind vielleicht metamorphe Bildungen.
- 9) Bitumina und Kohlen entstehen durch Inkohlung; Anthrazit aus der Steinkohle durch Erwärmung und Abdestillation von Kohlenwasserstoffen.



Tabelle 11.

Das Weltmeer.

- 1. Menge der Salze im Durchschnitt 3,5 Proz.
- 2. Ihre chemische Zusammensetzung (nach Erdmann):

Natrium Na 30,54 Proz.	Chlor Cl 55,29 Proz.
Kalium K 1,125 ,,	Brom Br 0,185 ,,
Magnesium Mg . 3,69 ,,	Schwefelsäure SO ₃ 7,76 ,,
Calcium Ca 1,18 ,,	Kohlensäure CO ₂ 0,20 ,,

- Daraus berechnet sich, daß das Chlornatrium rund drei Viertel der Salze ausmacht.
- Das Überwiegen des Natriums über das Kalium ist bedingt durch die Adsorption des Kaliums in den Tongesteinen.
- Das starke Zurücktreten des kohlensauren Kalks ist bedingt durch dessen Verbrauch zu Schalen und Skeletten der Organismen.
- Die Säuren stammen aus den Vulkanen. Sie sind in erster Linie an die stärksten Basen gebunden. Daher das Zurücktreten der alkalischen Erden.
- 7. In Binnenmeeren in kontinentalem Klima, wo die Verdunstung an Wasser größer ist als die Zufuhr, entstehen

Die Salzgesteine.

8. Würde das Weltmeer der Verdunstung bei 25° C unterworfen, die Temperatur sich nicht wesentlich ändern, auch nicht durch die Flüsse andauernd wieder Salze zugeführt, so würden sich daraus (nach van t'Hoff u. A.) folgende Gesteine in der durch Zahlen kenntlich gemachten Reihenfolge abscheiden:

Gesteine	w	ese	ntlich	Zone		
11. Bischofithalit				allit	Bischofit	Bischofitzone
10. Carnallithalit		rit	Kieserit	Carnallit		Carnallitzone
9. Kieserithalit		Anhydrit			_	
8. Kainithalit			Mg- Hexa- hydrat	Kainit	_	Kainitzone
7. Reichardtit- Kainithalit	Steinsalz (Halit)					
6. Reichardtithalit	Steinsal		tit	Polyhalit	_	Kalium- magnesium- sulfatzone
5. Astrakanithalit	Astrakanit		Astrakanit			Kalifreie Magnesium- sulfatzone
4. Polyhalithalit		Anhydrit			_	Polyhalitzone
3. Anhydrithalit				_	_	Anhydritzone
2. Gipshalit				_	-	Gipszone
1. Gipsfels		Gip	S	_	-	

- 9. Diese Ablagerungen sind sehr empfindlich gegen Änderungen von Temperatur und Druck, und es stellen sich daher unter dem Einfluß der inneren Erdwärme und des Gebirgsdruckes andere Gleichgewichte (Metamorphosen) nach nachstehenden Beispielen ein:
 - a) MgSO₄ 7 H₂O geht bei 27° in MgSO₄ 6 H₂O und dieses bei 31,5° Reichardtit Hexahydrat

in MgSO₄. H₂O über.

Kieserit

- b) $MgSO_4$. $KCl \cdot 3 H_2O$ geht bei 83° in $MgSO_4 \cdot H_2O + KCl$ **Kainit Kieserit**Sylvin $+ K_2SO_4 \cdot 2 MgSO_4 + MgCl_2$ -Lösung über.
- Langbeinit
 c) KCI · MgCl₂ · 6 H₂O geht bei 160° in KCl + Magnesiumchlorid-
- c) KCl·MgCl₂·6 H₂O geht bei 160° in KCl + Magnesiumchlorid-Carnallit Sylvin lösung über.
- 10. So wird z. B. die bei 25° C gebildete Gesteinsfolge (siehe 8.) bei 80° C in folgender Weise umgebildet:

Bischofitzone	als Lösung weggeführt oder ver- braucht
Carnallitzone	Carnallit mit Hartsalz (= Stein- salz + Kieserit + Sylvin)
Kainitzone	Hartsalz
Kalium-Magnesiumsulfatzone	Langbeinit und Hartsalz
Kalifreie Magnesiumsulfatzone	Loeweit, Vanthoffit, Kieserit
Polyhalitzone	Glauberit, Anhydrit
Anhydritzone	Unverändert
Gipszone	Anhydrit.

Metamorphische Gesteine.

Die Eruptivgesteine und die Sedimente erleiden unter dem Einfluß von Druck und Wärme bei Gegenwart von Wasser ohne wesentliche Zufuhr von Stoff eine nach der Stärke des Druckes oder nach der Höhe der Temperatur lokalisierte Metamorphose. Und zwar unterscheidet man Kontaktmetamorphose und Dynamometamorphose.

Die zwei wichtigsten in Betracht kommenden Gesetze sind:

- 1. Das **Temperaturgesetz:** Steigende Temperatur bedingt eine Stoffassoziation, welche Wärme absorbiert (negative Wärmetönung). Sinkende Temperatur bedingt eine Stoffassoziation, welche Wärme produziert (positive Wärmetönung).
- 2. Das Volumgesetz: Drucksteigerung bedingt eine Stoffassoziation, welche den kleinsten Raum beansprucht.

Beispiel zum Temperaturgesetz:

(Kaolin) $H_4Al_2Si_2O_9 \rightleftharpoons$ (Andalusit) $Al_2SiO_5 + (Quarz) SiO_2 + 2 H_2O$ positiv negativ negativ

Wärmetönung

Beispiel zum Volumgesetz:

 $\begin{array}{ll} \mbox{(Olivin)} \ \ \mbox{Mg}_2\mbox{Si}_{O_4} + \mbox{(Anorthit)} \ \mbox{CaAl}_2\mbox{Si}_2\mbox{O}_8 {\rightleftharpoons} \mbox{(Granat)} \mbox{CaMg}_2\mbox{Al}_2\mbox{Si}_3\mbox{O}_{12} \\ \mbox{Molekularyolumen} & \rightleftharpoons \frac{\mbox{Molekulargewicht}}{\mbox{spezif. Gewicht}}, \end{array}$

Olivin = 43.9Anorthit = 101.1 Summe 145, Granat = 121. 1. Durch Berührung mit erkaltenden **Tiefengesteinen** wird in den Sedimentgesteinen **Kontaktmetamorphose** hervorgerufen. Es wirkt hier primär die steigende Temperatur, welche bei Gegenwart von Wasser z. T. in Druck umgesetzt wird.

Die Veränderung wird mit der Annäherung an die Berührungsstelle immer stärker, die Sedimente werden unter mehr oder minder vollständigem Verlust ihrer ursprünglichen Struktur und Textur kristallinischer. Die am stärksten veränderten Gesteine heißen Hornfelse.

In unmittelbarer Nähe des Kontakts tritt gerne noch pneumatolytische Einwirkung hinzu, und es entstehen dann noch Bor-, Fluor- und Chlor-haltige Mineralien (Turmalin, Fluorit, Topas, Apatit usw.). (Pneumatolytischer Kontakt.) Auch Erzlagerstätten können so entstehen.

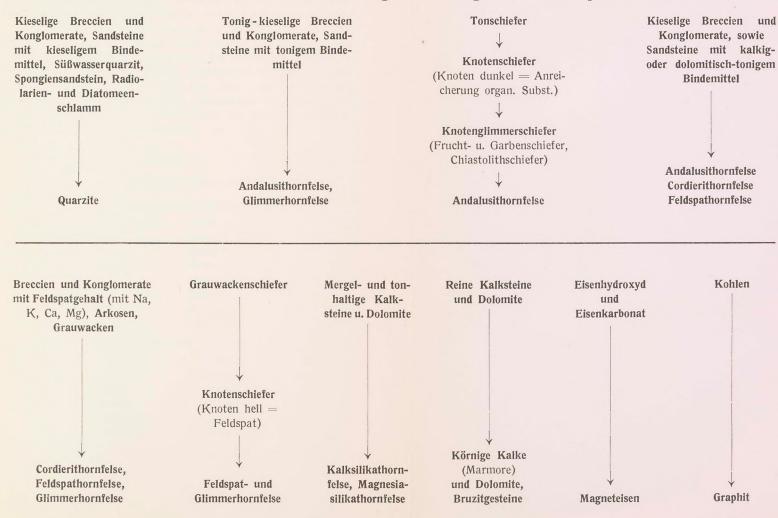
Tabelle 12.

Die wichtigsten neugebildeten Mineralien 1) sind:

Kalkspat	Vesuvian	Muskovit		
Wollastonit	Hornblende	Biotit		
Granat Feldspäte		Andalusit (Chiastolith)		
	Cordierit	Graphit		
	Staurolith	Magneteisen		
	Dolomit	Quarz		

¹⁾ Chemische Zusammensetzung siehe Tabellen 2, 9 u. 17.

Die Sedimente liefern nun im allgemeinen folgende Kontaktprodukte:





2. Bei der Gebirgsfaltung wird in allen Gesteinen lokal **Dynamometamorphose** hervorgerufen. Es wirkt hier primär der Druck, der sich z. T. in Wärme umsetzt. Wasser ist zugegen.

Die Veränderung ist am stärksten in der Zone des stärksten Druckes und der größten Tiefe, sie wird intensiver mit der längeren Dauer des Druckes. Zu Beginn und nahe der Erdoberfläche tritt zunächst eine Zertrümmerung der vorhandenen Mineralien (Kataklas- oder Mörtelstruktur), dann eine Plan- und Paralleltextur (Schieferung, Augenstruktur) mit gleichzeitiger Neubildung von Serizit und erst weiterhin je nach Stärke und Dauer des Druckes die Neubildung der übrigen Mineralien ein.

Tabelle 14.

Die wichtigsten neugebildeten Mineralien sind:

bei schwacher Umwandlung:

Muskovit (Serizit) Zoisit) Saussurit Paragonit Epidot 1 Chlorit Quarz Serpentin Kalkspat Talk Dolomit Albit Eisenglanz Hornblende Rutil Granat Titanit

bei starker Umwandlung:

Feldspäte Cordierit
Biotit Disthen
Augite Sillimanit
Olivin Magnetkies
Skapolith Magneteisen
Staurolith Graphit

(Siehe auch Tabelle 17.)

Tabelle 15.

Dynamometamorphose der Eruptivgesteine.

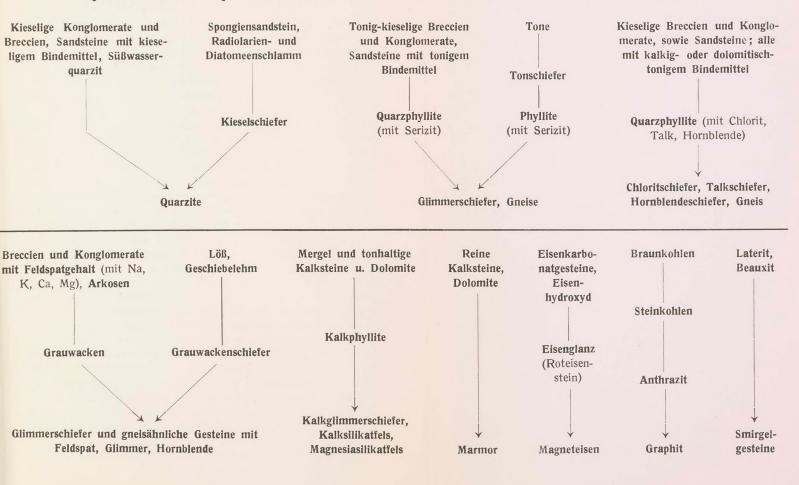
Bei schwacher Einwirkung der Dynamometamorphose macht die ursprüngliche Struktur der Eruptivgesteine der Kataklasstruktur und einer Plan- und Paralleltextur Platz.

Bei stärkerer Veränderung werden im allgemeinen die Gesteine der

Familie	der	Granite, Syenite, Diorite, Elaeolithsyenite usw.	zu	Gneisen
,,	,,	Porphyre und Porphyrite	zu	Porphyroiden, Phyl- liten, Glimmerschiefern, Gneisen
"	,,	Gabbro	zu	Gneisen, Amphibol- gesteinen und Serpen- tinen (bzw. Nephrit)
,,	,,	Diabase und Melaphyre	zu	Serpentinen, Horn- blende- und Chlorit- gesteinen
"	"	feldspatfreien Gesteine	zu	Serpentinen, Horn- blende-, Augit-, Olivin-, Talk- und Chlorit- gesteinen.

Die Produkte stärkster Veränderung gleichen sowohl bei den Eruptivgesteinen als bei den Sedimenten den kristallinen Schiefergesteinen vollkommen (siehe Tabelle 18, 19, 20).

Dynamometamorphose der Sedimente. (Die Striche deuten den Verlauf der Umwandlung an.)



Die überall die Basis der unveränderten Sedimente bildenden

kristallinen Schiefergesteine

sind durch allgemeine Metamorphose (Einwirkung von Druck und gesteigerter Temperatur bei Vorhandensein oder Fehlen von Wasser und meist ohne wesentliche Zufuhr von Stoff) entstanden.

Es können jedoch auch Injektionen von Lösungen oder von Eruptivmaterial stattgefunden haben. Auch pneumatolytische Beeinflussung von unterliegendem Eruptivmagma kommt vor.

Es ist klar, daß sowohl die Eruptivgesteine als die Sedimente eine Veränderung erfahren mußten, denn jene sind bei im allgemeinen niedrigem Druck und bei hoher Temperatur, diese bei Normaldruck und niedriger Temperatur entstanden. Nun wirkt aber erhöhter Druck und wenig erhöhte Temperatur oder hoher Druck und hohe Temperatur. Dies bedingt also mehrere Zonen, deren obere im allgemeinen Mineralien von positiver Wärmetönung und kleinem Volumen und deren untere Mineralien von negativer Wärmetönung und kleinstem Volumen aufweist.

Infolge einseitigen Druckes zeigen alle Gesteine mehr oder minder deutlich die Plan- und Paralleltextur.

Gesteine, welche das Gleichgewicht noch nicht erreicht haben, noch mehr oder minder deutlich ihre Abstammung verraten, wenige neue deutlich kristallisierte Mineralien enthalten, nennt man **Phyllite**.

Gesteine, die aus Eruptiven entstanden sind, nennt man "Ortho"-Gesteine, die aus Sedimenten "Para"-Gesteine. Man kann sie in den meisten Fällen unterscheiden teils durch den Chemismus (chemische Zusammensetzung; Vorherrschen des Kalis über das Natron und Tonerdeüberschuß in den Sedimenten), teils durch die Struktur (Reliktstrukturen) der Eruptiven (z. B. Augengneis).

Es liefern Gesteine der Gruppen der nachfolgenden Tabelle 19: 1. die Eruptivgesteine und ihre Tuffe Gruppen I, III, IV, V, VI, VII

- 2. a) die mechanischen Sedimente Gruppen II, V, VIII, IX, XII
 - b) die chemischen Sedimente Gruppen V, IX, X, XI
 - c) die organogenen Sedimente Gruppen VIII, IX, X.

Tabelle 17.

Die wichtigsten Mineralien der kristallinen Schiefergesteine.

Die kristallinen Schiefergesteine können entsprechend ihrer Entstehung ast alle Mineralien der primären und sekundären Gesteine als Relikte enthalten. (Nicht beobachtet sind hauptsächlich die meisten Feldspatvertreter der primären und die leicht löslichen Salze der sekundären Gesteine.) Die primär nur in metamorphen Gesteinen vorkommenden Mineralien sind mit einem Stern bezeichnet.

Druck und Temperatur steigen mit der Tiefe.

A. In allen drei Zonen.

- 1. Quarz SiO,
- 2. Albit-Oligoklas mNaAlSi₃O₈ · CaAl₂Si₂O₈ (m>3)
- 3. *Granat $R_3R_2Si_3O_{12}(R = Mg, Fe, Ca, Mn)R = Al, Fe, Cr)$
- 4. Hornblende (Ca, Mg, Fe)SiO₃ (z. T. Al- und Na-haltig)
- 5. Kalzit CaCOa
- 6. Dolomit CaMgC2O6
- 7. Magnetit Fe₃O₄

B. In der oberen Zone.

- 1. *Serizit = dichtem Muskovit
- 2. *Paragonit (Na, K, H), Al, Si, O24
- 3. *Talk H₂Mg₃Si₄O₁₂
- 4. *Serpentin H₄(Mg, Fe)₃Si₂O₉
- 5. *Chlorit nH₄(Mg, Fe)₃Si₂O₉ · mH₄(Mg. Fe)₂Al₂SiO₉
- 6. Glaukophan = Na-haltige Hornblende
- 7. *Anthophyllit = rhombische Hornblende
- 8. Kohle

C. In der oberen und mittleren Zone.

- 1. Albit NaAlSi₃O₈
- 2. *Margarit H2CaAl4Si2O12
- 3. *Sprödglimmer (Chloritoid, Ottrelith) = wasserhaltige Ca-, Mg-, Fe-, Al-Silikate
- 4. *Strahlstein Ca(Mg, Fe)₂Si₃O₉ (Hornblende)
- 5. *Staurolith H₄(Fe, Mg)₆(Al, Fe)₂₄Si₁₁O₆₆
- 6. *Epidot $H_2Ca_4(Al, Fe)_6Si_6O_{26}$
- 7. *Zoisit = eisenfreiem Epidot | Saussurit

- 8. *Disthen Al2SiO5
- 9. Haematit Fe₂O₃

D. In der mittleren Zone.

- 1. Muscovit (K, H) Al Si O24
- 2. Na-haltige Augite u. Hornblenden
- 3. Blaugrüne Hornblenden
- 4. *Tremolit CaMg₃Si₄O₁₂
- 5. *Graphitoid)
- 6. *Schungit amorpher Kohlenstoff

E. In der mittleren und unteren Zone.

- 1. Orthoklas KAlSi₃O₈
- 2. Anorthoklas (K, Na)AlSi₃O₈ · CaAl₂Si₂O₈
- 3. Alle Plagioklase nNaAlSi₃O₈ · mCaAl₂Si₂O₈
- 4. Nephelin NaAlSiO4
- 5. *Phlogopit (K, H), Al, Si, O, F2 · nMg, SiO,
- 6. Biotit (K, H) 6Al 6Si 6O24 · n(Mg, Fe) SiO4
- 7. Augite (Ca, Mg)SiO₃ z. T. Al- und Na-haltig
- 8. *Skapolith = einem Kalknatronfeldspat mit Gehalt an Chloriden, Sulfaten, Karbonaten des Natriums und Kalziums.

F. In der unteren Zone.

- 1. Olivin (Mg, Fe)2SiO4
- 2. *Wollastonit CaSiO3
- 3. *Diopsid (Ca, Mg)SiO₃
- 4. *Jadeit u. Chloromelanit = Na-haltige Augite
- 5. *Vesuvian [H₆(Ca, Mg)₃(Al, Fe)₂]₁₁Si₁₅O₆₃
- 6. *Cordierit Mg.Al.Si.O.
- 7. *Sillimanit Al₂SiO₅
- 8. Korund Al₂O₃
- 9. *Graphit C

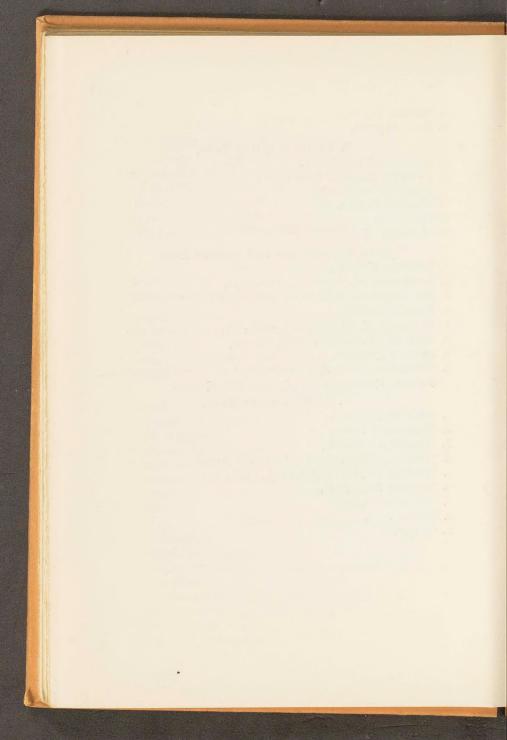


Tabelle 18.

Klassifikation der wichtigsten kristallinen Schiefergesteine nach dem wesentlichsten Mineralbestand.

Quarz mit Alkalifeldspat und
farb. Gemengt Gneis
Quarz mit Plagioklas und farb.
Gemengt Plagioklasgneis
Quarz mit Glimmer Glimmerschiefer
Hornblende mit oder ohne Feld- spat
Augit mit oder ohne Feldspat { Augitfels, Augitschiefer (Eklogit, Jaueit)
Olivin u. accessor. Gemengt Olivinfels, Olivinschiefer
Chlorit u. accessor. Gemengt Chloritschiefer
Talk u. accessor. Gemengt Talkschiefer
Graphit, Quarz mit oder ohne Feldspat Graphitgneis, Graphitschiefer
Quarz u. accessor. Gemengt Quarzite
Kalzit mit Silikaten Kalksilikatfels
Kalzit

Tabelle 19.

Einteilung der kristallinen Schiefergesteine nach Mineralbestand und Zonen. (Nach Grubenmann.)

	Obere Zone (Epi)	Mittlere Zone (Meso)	Untere Zone (Kata)	Gruppen		Obere Zone Mittlere (Epi) Mittlere	0)	Untere Zone (Kata)	Gruppen		Obere Zone (Epi)	Mittlere Zone (Meso)	Untere Zone (Kata)	Gruppen		Obere Zone (Epi)	Mittlere Zone (Meso)	Untere Zone (Kata)	Gruppen		Obere Zone (Epi)	Mittlere Zone (Meso)	Untere Zone (Kata)	Gruppen
d gsten net	Qua	arz*, Granat, Hornblend	e		eral- and	Quarz*, Hornble Oligoklas-Ar		thoklas*, Biotit*			Alb	t*, Hornblende*, Grana	t				Quarz*, Granat			pı	К	alzit*, Dolomit*, Quarz		
estano wichti ezeich	Albit*,	Orthoklas* (Mikroklin Oligoklas-Andesin*,			Mineral- bestand	Albit*, Chlorit*, Serizit*, Kohle Zoisit*, Staurolith,	Epidot*, Graphitoid	Augit*, Silli- manit, Cordierit, Graphit	III. Kalk- natron-	stand		Orthoklas, Ne	ephelin*		estano	Albit, Serizit,	Feldspäte, Biotit	, Hornblende		bestar	Albit, Serizit, Chlorit, Talk,	Feldspäte, Phlog Hornbler	opit, Biotit, nde	
neralb ind die ralien b	Serizit*, Chlorit*	Mikroperthit*, Muscovit*, Graphitoid	Sillimanit, Cor- dierit, Graphit	Alkali- feldspat-	(1)	Epidotalbit- gneis, Hornblendeplagio- klasgneis, Glim- merplagioklas-	, Glim-	Augit-, Horn- blende-,	feldspat- gneise	(1)	Glaukophan*, Strahlstein*, Chlorit Gligoklas*, Na-haltige	Jadeit*	VI.	neralb	Chlorit, Strahlstein, Chloritoid, Glaukophan, Kohle Staurolith, Graph	Muscovit, Epidot, Staurolith, Graphitoid	Augit, Cordierit, Sillimanit, Graphit	VIII. Quarzit-	inerall	Serpentin	Muscovit, Strahlstein, Tremolit, Graphitoid	Diopsid, Wollastonit, Granat Skapolith, Vesu-	X. Marmore	
Min mit * sir Minera	Zoisit*, Epidot*	, Disthen, Staurolith		gneise	Ge- stein	Epidotphyllit gneis, Horgarbens	nblende- chiefer	Biotit-Plagio- klasgneis		Mine		Augite* und Horn- blenden*, Biotit	Juan	Jadeit- gesteine	Mir		Disthen	Grapint	gesteine	M		vian, Spinell, Olivin, Graphit		
Ge- steine	Serizitalbit- gneise	Muscovitgneise, Zweiglimmergneise	Biotitgneise		eral- tand	Granat*, Hornbl Glaukophan*, An- thophyllit, Chlorit*,	ende, Quar esin-Anorth		-		G	ua rz*			Ge-			Gneis-		Ge- steine	Kalzitm	narmore, Dolomitma	armore	
pu	Qua	arz*, Granat*, Hornblen			Miner		Paragonit, olith	Augit* (Omphacit), Orthoklas	IV.	Ge- steine	Alkaligneise	Alkaligneise	Jadeitite		steine	Serizitquarzite	Glimmerquarzite	quarzite		77	Magn	ietit*, H <mark>ornblende,</mark> Grai	nat	
Ibesta	Albit*, Serizit, Paragonit, Chlorit* Sprödglimmer*,	aragonit, Chlorit*, Sillimanit*, Cor-				Epidot*, Zoisit*, Zoisitamphibolite,		Eklogite und Amphibo-	Granat, Albit-Oligoklas*, Hornblende*			•	Granat*, Hornblende*, Quarz*, Karbona		arbonate*			Quarz, Epidot, Chlorit, Talk,	Feldspäte					
\inera	Glaukophan, Kohle	Schungit	dierit*, Spinelle, Augit, Graphit		teine	Albitamphibo- lite, Epidot- chloritschiefer, amphib	Granat- olite,	Eklogit, Plagioklas-	lite	tand		Orthokla	as		stand		Bioti	t		ıeralb	Kalzit, Serpentin, Serizit	Glimmer, Kalzit, Dolomit	Olivin,Sillimanit Biotit, Augit	XI. Eisen-
	Serizitalbit-	*, Staurolith* Muscovitschiefer, Zweiglimmersch.,		II.	Ges	Glaukophanite, Gabbroschiefer boli Anthoph	te,	Augitfels		ralbes	Glaukophan*, Serizit*, Chlorit*, Strahlstein*, Sprödglimmer*	Blaugrüne Horn-	Chlorens I to		eralbe	Serizit*, Chlorit, Glaukophan, Talk, Serpentin, Albit	Muscovit*, Plagioklas	Basische Plagio- klase*, Augit*,		Mii	Haematit	*, Strahlstein		oxydische Gesteine
chiefer	phyllite, Disthenalbitph Staurolithal-	Paragonitschiefer, Disthenglimmer- schiefer,	,	Tonerde- silikat- gneise	ral- nd	Hornblende Chlorite*, Talk*,		agioklas, Quarz		Mine	Sproughinner*	blende*, Biotit*, Muscovit	Chloromelanit*	VII. Chloro- melanit-	Mine		Staurolith	Vesuvian*, Skapolith*, Phlogopit*,	IX. Kal k- silik at -	Ge- steine		ne, Eis <mark>engli</mark> mmer-	Magnetit- gesteine	
teine	bitphyllite, Granatalbitph.	Staurolithglimmer schiefer, Granatglimmersch			Miner	Serpentin*, Albit Anthop Musc	ovit	Olivin*, Granat* Augit*	V. Magne-			*, Zoisit*, Quarz, rbonate		gesteine		Epidot, Zoisit,	Strahlstein*, Kohle	Cordierit	gesteine	Stellie	1	microi	gesterne	
Ges	Serizitalbit- gneis, Disthena bitgneis, Stauro	Distnenguers,	Sillimanit- gneis,		ine	Strahlstein*, Zoisit, Epidot, F Chloritschiefer, Hornb Talkschiefer, schiefer,	lende-	Olivin- schiefer,	iefer, schiefer 4890		Glaukophanal- bitschiefer, Serizitalbit-	Biotitplagioklas- schiefer,	Chloro-		Gesteine	Kalksilikat- schiefer,	schiefer, schiefer,			Mineral- bestand	Korund*, Magnetit Disthen, Stau	netit*, Margarit, Muscovit, Biotit, Chloritoio Staurolith, Spinelle, Diaspor, Karbonate		id, XII. Alumi- nium-
Gne	lithalbitgneis, Granatalbit- gneis	Staurolithgneis, Granatgneis	Cordierit- gneis, Granatgneis		Gestei	Serpentin- steinsc	e, Antho-	Olivinfels, - Augitschiefer Augitfels			schiefer, Chlorit- albitschiefer	Hornblendechloro- melanitite	melanitite			Epidotschiefer, Granatschiefer, Kalkphyllite	niefer, schiefer	Vesuvian- felse, Skapo- lithfelse		Ge- steine		Smirgelgesteine		Oxyd- gesteine

Tabelle 20.

Klassifikation der Gneise nach der Textur und Struktur.

	Textur:	Struktur:		
Lagengneis	Lagenförmig			
Gemeiner Gneis	Plan und Parallel			
Körniger Gneis	Massig	Granitisch		
Körnig-flaseriger Gneis	Flaserig			
Flaseriger Gneis	Traserig			
Schieferiger Gneis	Schieferig			
Stengelgneis	Stengelig			
Porphyrartiger Gneis	Plan und Parallel	Porphyrartig		
Augengneis	Flaserig	Porphyrartig		
Konglomeratgneis		mit Geröllen		
Dichter Gneis	Massig	Granitisch und feinkörnig		
Hälleflinta	Lagenförmig	Dicht		

*

Tabelle 21.

Geologische Formationen.

Gruppe	Formation	Unterabteilungen					
9 1	Alluvium	Heutige Bildungen					
Känozoische Formations- gruppe	Diluvium	Postglazial — III. Glazial — 2. Interglazial — II. Glazial — 1. Interglazial — I. Glazial					
Kär For	Tertiär	Pliozän — Miozän — Oligozän — Eozän					
he ns-	Kreide	Senon — Turon — Zenoman — Gault — Neokom					
Mesozoische Formations- gruppe	Jura	Weißer Jura oder Malm Brauner Jura oder Dogger Schwarzer Jura oder Lias					
M.	Trias	Keuper — Muschelkalk — Buntsandstein					
	Dyas oder Perm	Zechstein — Rotliegendes					
Paläozoische Formationsgruppe	Karbon- oder Stein- kohlenformation	Produktive Kohle — Untere Kohle (Kulm), Kohlenkalk					
oisc nsgi	Devon	Ober-, Mittel-, Unterdevon					
läoz atio	Silur	Ober-, Untersilur					
Pa	Kambrium						
	Präkambrium oder Algonkium						
Archäisches oder Azoisches Gebirge	Grundgebirge	Kristalline Schiefergesteine					

Erklärung der Abbildungen der wichtigsten Strukturarten.

- 1. Hypidiomorph-körnige oder granitisch-körnige Struktur. Farbige Gemengteile (im Bilde dunkel) erstes Ausscheidungsprodukt, dann Feldspat (trübe), zuletzt Quarz (hell). Die ersteren teilweise von eigenen Kristallflächen begrenzt. (Amphibolbiotitgranit.) Vergrößerung 15fach.
- Panidiomorph-körnige Struktur. Feldspat (trübe) und Quarz hell) sind meist von eigenen Kristallflächen begrenzt. (Aplit.). Vergr. 20.
- 3. Holokristallin-porphyrische Struktur. Quarz (hell) und Feldspat (trübe) in zwei Generationen, als Einsprenglinge und in der Grundmasse. (Dacit.) Vergr. 15.
- 4. Hypokristallin-porphyrische Struktur. Feldspat (hell) und Augit (etwas dunkler) in zwei Generationen, als Einsprenglinge und in der Grundmasse. In dieser außerdem reichliche Glasbasis. (Melaphyr.) Vergr. 15.
- Ophitische oder diabasisch-körnige Struktur. Die Feldspäte (hell) idiomorph und vor dem allotriomorphen, die Zwischenräume erfüllenden Augit (dunkel) ausgeschieden. (Diabas.) Vergr. 25.
- Breccie. Eckige Bruchstücke mit kleinkörnigem Bindemittel. (Marmor.) Nat. Gr.
- 7. Konglomerat. Gerundete Gerölle in kleinkörnigem bis dichtem Bindemittel. (Puddingstein). Nat. Gr.
- 8. Sandstein. Gerundete Sandkörner (Quarz) in dichtem oder feinkörnigem Bindemittel. (Buntsandstein.) Vergr. 20.
- Oolith. Konzentrisch schalige oder radialfaserige Kügelchen von Kalkspat in (kalkigem) Bindemittel. (Aus dem Muschelkalk.) Vergr. 15.

- 10. Knotenschiefer. Obere Hälfte: Anhäufung von dunklem Pigment mit Beginn der Kristallisation. (Tonschiefer.) Vergr. 30 Untere Hälfte: Helle Knoten aus neukristallisiertem Feldspat bestehend. (Grauwackenschiefer.) Vergr. 5.
- Quarzit. Mosaikartig ineinandergreifende Quarzkörner. Vergrößerung 20. Nic. +.
- 12. Andalusithornfels. Hornfelsstruktur. Andalusit, Quarz (ganz helle Grundmasse) und Biotit (dunkel). Vergr. 30.
- 13. **Verdrückter Pegmatit**: Kataklasstruktur. Feldspat und Quarz zerdrückt und zersprungen. Nic. +. Undulöse Auslöschung. Vergr. 30.
- 14. Verdrückter Pegmatit. Sehr starke Kataklase am Pegmatit. Ein großes Turmalinbruchstück mit zahlreichen kleinen Quarzbruchstücken in sehr feinkörnigem, plan- und paralleltexturiertem, gefaltetem Mörtel. Vergr. 30.
- Augengneis. Große Feldspatkörner von einem zertrümmerten, kleinkörnigen Gemenge von Quarz und Feldspat mit Glimmer flaserförmig eingeschlossen. Nat. Gr.
- Glimmerschiefer. Schichtig angeordnete Quarzkörner von Glimmerflasern durchzogen; einzelne Granatbruchstücke. Vergrößerung 20.



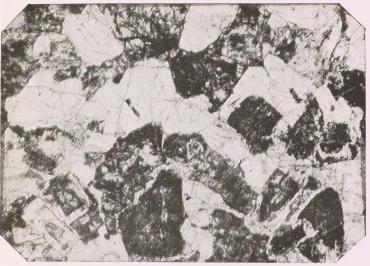
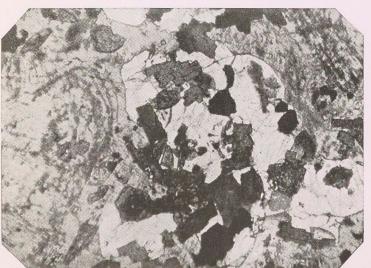
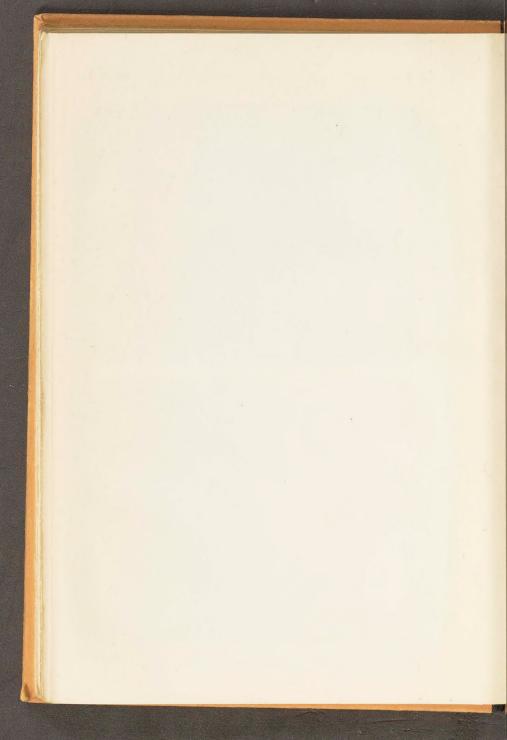


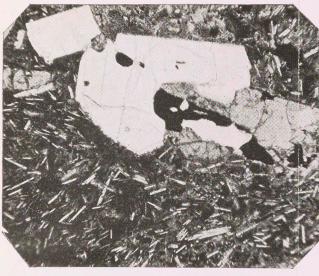
Fig. 2. Panidiomorph-körnige Struktur. Ap



ig. 1. Hypidiomorph-körnige Struktur

Verlag von Gustav Fischer in Jena.



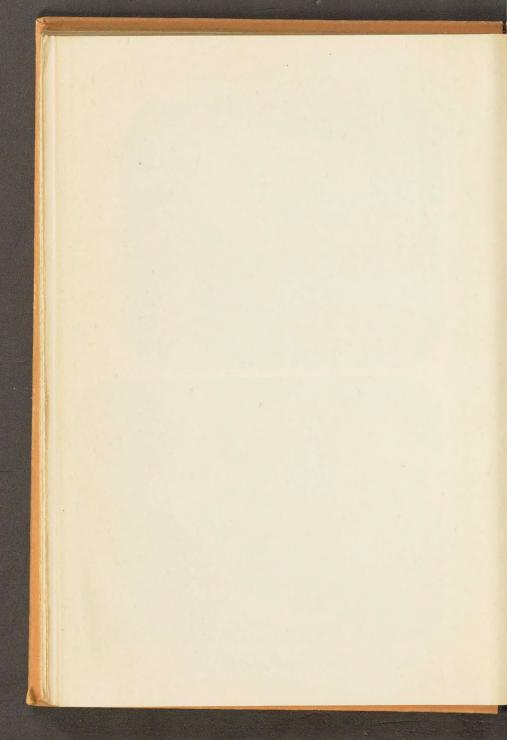




Verlag von Gustav Fischer in Jena.

Fig. 4. Hypokristallin-porphyrische Struktur. Melaphyr.

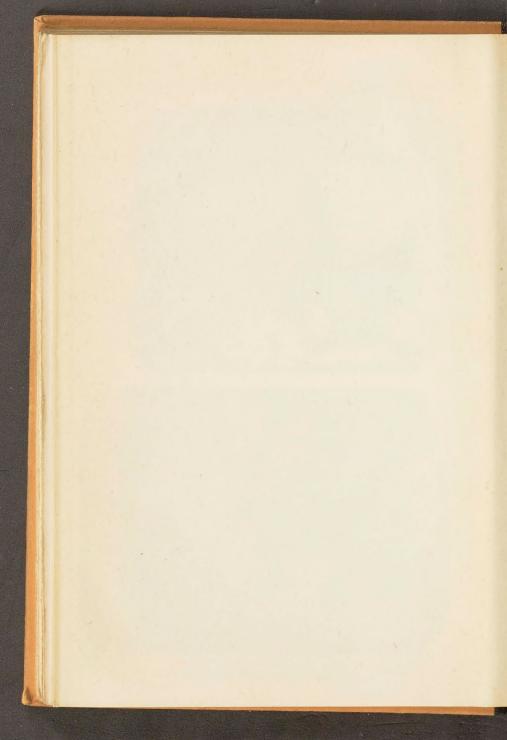
Fig. 3. Holokristallin-porphyrische Struktur. Dacit.

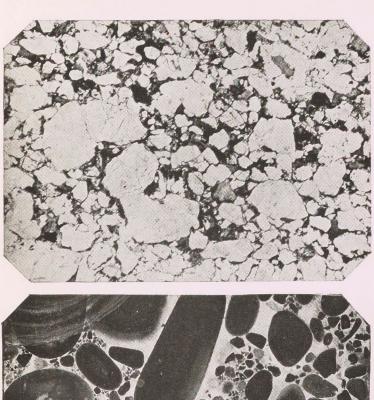




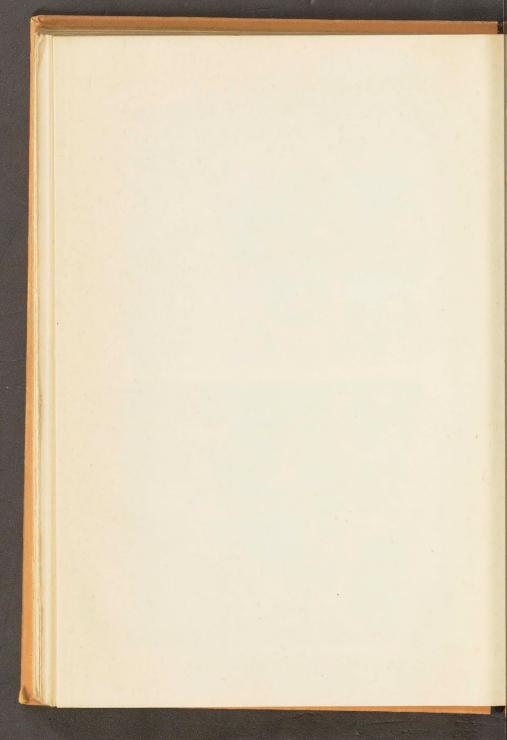
Verlag von Gustav Fischer in Jena.

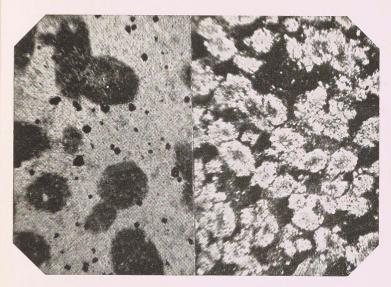
Fig. 6. Breccie. Marmor





Verlag von Gustav Fischer in Jena.

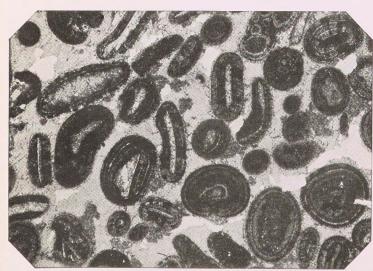




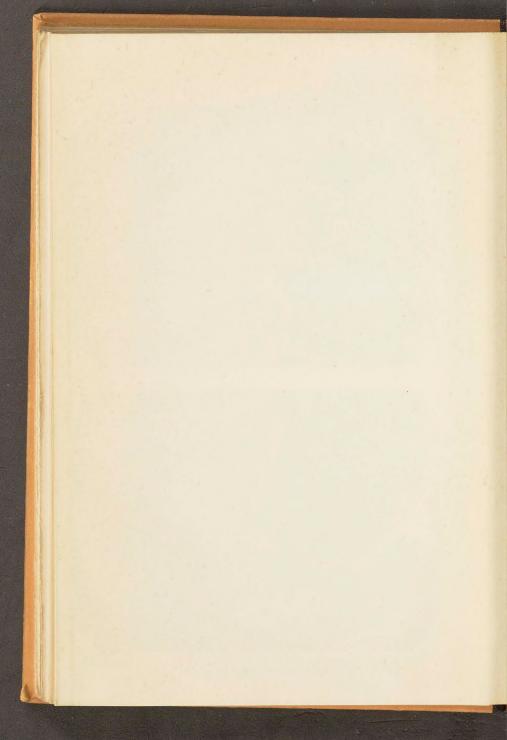
Tafel V.

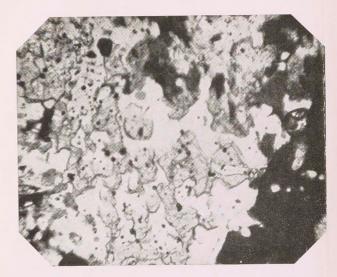
Oolith. Rogenstein.

Fig. 9



Verlag von Gustav Fischer in Jena.



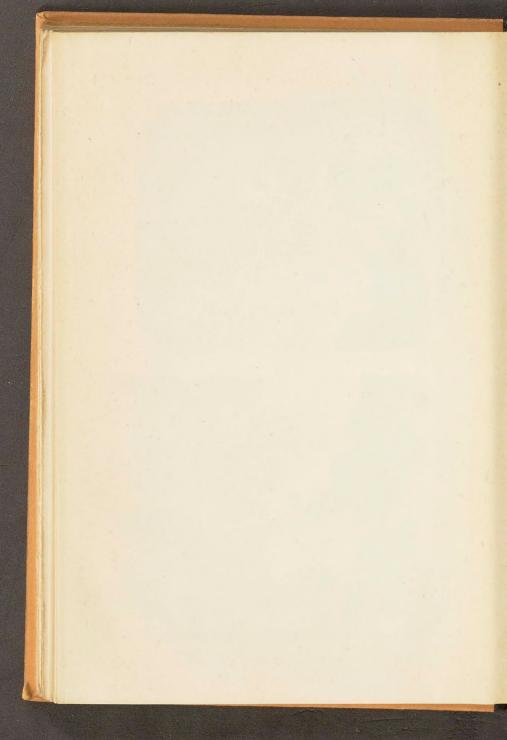




Verlag von Gustav Fischer in Jena.

Fig. 12. Andalusithornfels.

Fig. 11. Quarzit Mosaikstruktur.

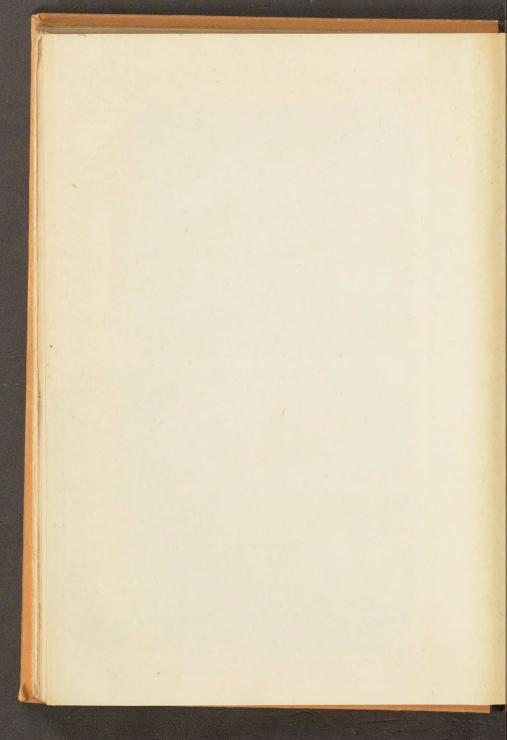






Verlag von Gustav Fischer in Jena.

Fig. 13. Kataklasstruktur. Pegmatit.



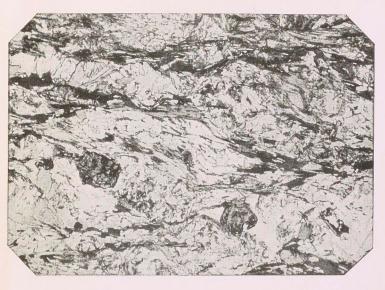


Fig. 16. Glimmerschiefer. Plan- und Paralleltextur.

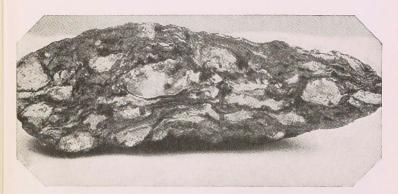
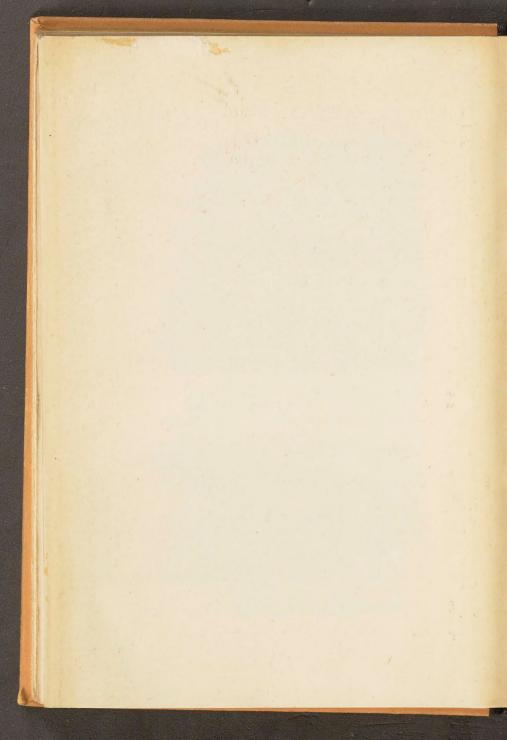


Fig. 15. Augengneis. Struktur porphyrartig, Textur flaserig.

Verlag von Gustav Fischer in Jena.



Verlag von Gustav Fischer in Jena.

Die angegebenen Preise sind die im November 1921 gültigen. - Die Preise für gebundene Bücher sind bis auf weiteres unverbindlich.

- Fortschritte der Mineralogie, Kristallographie und Petrographie. Herausgegeben im Auftrag der Deutschen Mineralog. Gesellschaft von Dr. G. Linck, o. ö. Prof. für Mineralogie und Geologie an der Universität Jena.
- 1. Bd.: Mit 53 Abbild. im Text. IV, 290 S. gr. 8º 1911 Mk 36.—
- 2. Bd.: Mit 23 Abbild. im Text. IV, 304 S. gr. 8° 1912 Mk 42.—
- 3. Bd.: Mit 26 Abbild. im Text. IV, 320 S. gr. 8° 4 Bd.: Mit 23 Abbild. im Text. IV, 384 S. gr. 8° 1913 Mk 40.—
- 1914 Mk 50.—
- 5. Bd.: Mit 43 Abbild. im Text. III, 324 S. gr. 8° 1916 Mk 46.—
- 6. Bd.: Mit 46 Abbild. im Text. IV, 245 S. gr. 8° 1920 Mk 30.— Preis für Band I—VI: Mk 244.—
- Abriß der Erzlagerstättenkunde. Von Prof. Dr. A. Bergeat, Direktor des Mineralogischen Instituts der Universität Königs-Mit 26 Abbildungen im Text. (Abdruck aus "Handwörterbuch der Naturwissenschaften". Bd. III.) VI, 110 S. kl. 8° 1913 Mk 10.—
- Technische Blätter, Nr. 28 vom 12. Juli 1913:

Der vorliegende Abriß der Erzlagerstättenkunde ist eine gedrängte Zusammenfassung über alles Wissenswerte aus diesem Gebiet. Neues wird in dem kleinen Heft nicht gebracht. Wem aber die Anschaffung des großen Werkes von Stelzner-Bergeat zu hohe Kosten verursacht, sei nachdrücklich auf dies kleine Werk hingewiesen.

- Vorlesungen über die chemische Gleichgewichtslehre und ihre Anwendung auf die Probleme der Mineralogie, Petrògraphie und Geologie. Von Robert Marc, a. o. Prof. an der Universität Jena. Mit 144 Abbild. i. Text. VI, 212, S. gr. 8º 1911 Mk 20.—
- Beiträge zur Geschichte des Kupfers, insbesondere seiner Gewinnung und Verarbeitung. Von Dr. Alfred Fleck. gr. 8° 1908 Mk 6.40
- Uber den Ursprung der ersten Metalle, der See- und Sumpferzverhüttung, der Bergwerkindustrie und ihrer ältesten Organisation in Schweden. Eine prähistorisch- und historisch-ökonomische Abhandlung. Von Carl Max Maedge, Dr. der Staatswissenschaften, Syndikus der Handelskammer zu Flensburg. (Probleme der Weltwirtschaft. Herausgegeben von Prof. Dr. B. Harms, Kiel. H. 25.) XIII, 166 S. Lex. 80 1916
- Carl von Linné als Mineralog. Von R. Sjögren. 42 S. gr. 8° 1909 Mk 7.60
- Carl von Linné als Geolog. Von A. G. Nathorst. Mit 10 Abbildungen im Text und 2 Tafeln. 90 S. gr. 8° 1909 Mk 18.—

Grundlagen und Methoden der Paläogeographie. Von Dr. Edgar Dacqué, Privatdoz. an der Univ. München. Mit 79 Abb. im Text u. 1 Karte. VII, 499 S. gr. 8° 1915 Mk 56.—, geb. Mk 72.—

Vorschule der Geologie. Eine gemeinverständliche Einführung und Anleitung zu Beobachtungen in der Heimat. Von Johannes Walther, Prof. der Geologie und Paläontologie. Siebente, ergänzte Auflage. Mit 123 Originalzeichnungen, 134 Aufgaben, nebst Literaturverzeichnis für Exkursionen und einem Wörterbuch wichtiger Fachausdrücke. VIII, 262 S. kl. 8° 1920

Mk 18.-, geb. 24.-

Allgemeine Gebirgskunde. Von Dr. Otto Wilckens, vordem o. Prof. der Geologie und Paläontologie und Direktor des geologisch-paläontolog. Instituts der Kaiser Wilhelm-Universität Straßburg, Mitglied des Beirats der Geolog. Landesanstalten von Elsaß-Lothringen, Mit 115 Abbildungen im Text. VI, 154 S. gr. 8º 1919 Mk 20.—, geb. Mk 25.—

Inhalt: 1. Einleitung. 2. Das Baumaterial der Gebirge. 3. Die Teilung des Gebirges und seine Gliederung. 4. Gebirgssysteme. 5. Die Einteilung der Gebirge. 6. Die vulkanischen Gebirge. 7. Die tektonischen Gebirge. 8. Erosionsgebirge. 9. Die geographische Verteilung der Gebirge. 10. Die Ursachen der Gebirgsbildung. 11. Literatur. 12. Erklärung der geologischen Fachausdrücke. 13. Register.

Grundzüge der tektonischen Geologie. Von Dr. Otto Wilkkens, a. o. Prof. der Geologie und Paläontologie an der Universität Jena. Mit 118 Abbildungen im Text. VIII, 113 S. gr. 8º 1912 Mk 14.—, geb. Mk 24.—

Inhalt; Morphologische Tektonik. — I. Die tangentialen Dislokationen. 1. Faltung. 2. Überschiebung. 3. Zweifache Faltung, diskordante Lagerung. 4. Erodierte Falten und Überschiebungsdecken. 5. Transversalverschiebungen. 6. Überschiebung ohne vorhergehende Faltung, Schollenüberschiebung, Spaltdecken, listrische Flächen. — II. Die radionalen Dislokationen. 1. Die Flexur. 2. Die Verwerfungen.

Revolutionen in der Erdgeschichte. Eine akademische Rede, gehalten am 24. Juli 1920 entsprechend den Bestimmungen der Paul von Ritterschen Stiftung für phylogenetische Zoologie. Von Dr. Wilfried von Seidlitz, Inhaber der Häckelprofessur für Geologie und Paläontologie an der Universität Jena. Mit 3 Abbild. im Text u. 1 Tabelle. 42 S. gr. 8° 1920 Mk 8.—

Temperatur und Zustand des Erdinnern. Eine Zusammenstellung und kritische Beleuchtung aller Hypothesen. Von Dr. Hermann Thiene, Assistent am Mineralog. Institut der Universität Jena. VII, 203 S. gr. 8° 1907 Mk 10.—